

A.

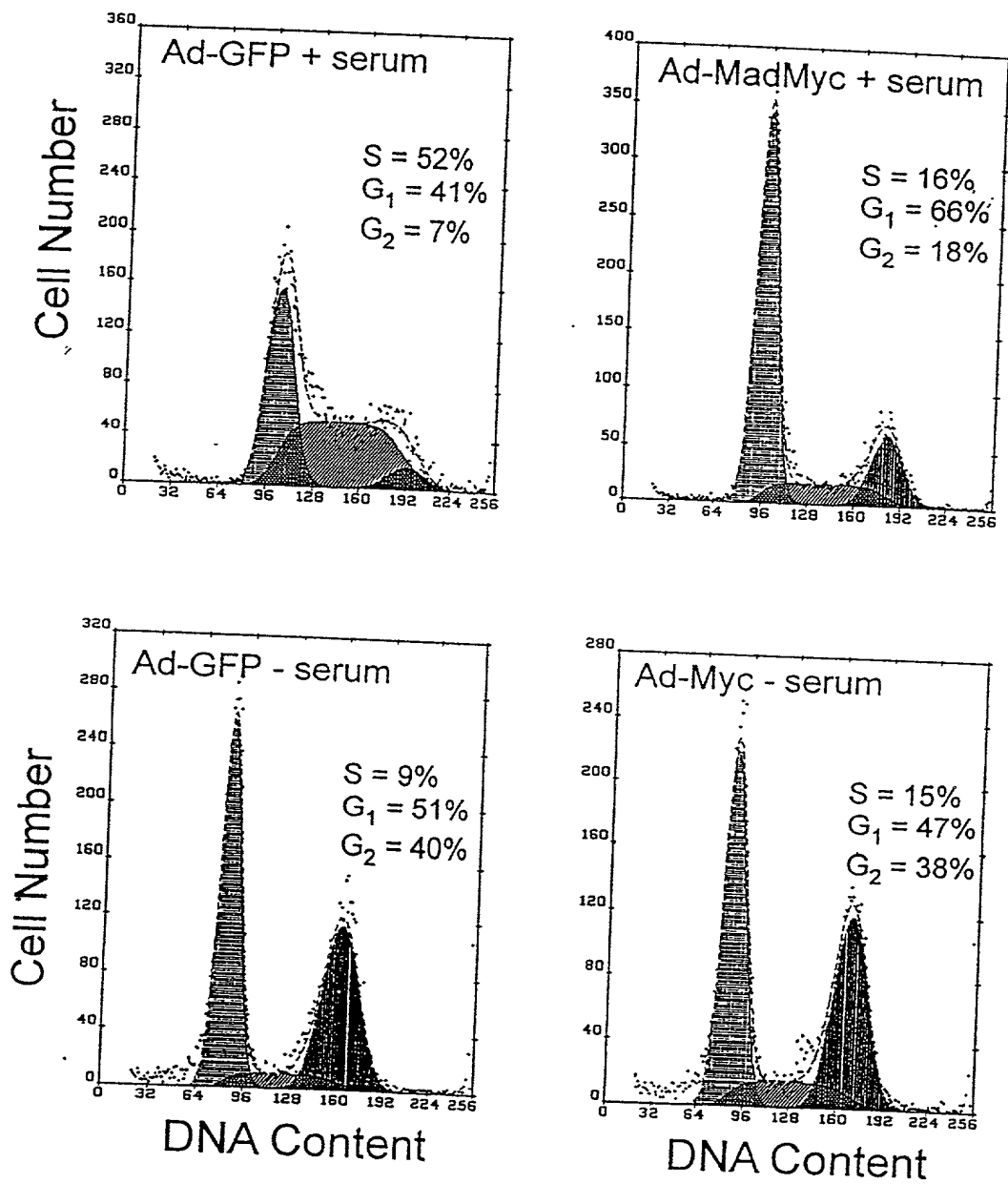
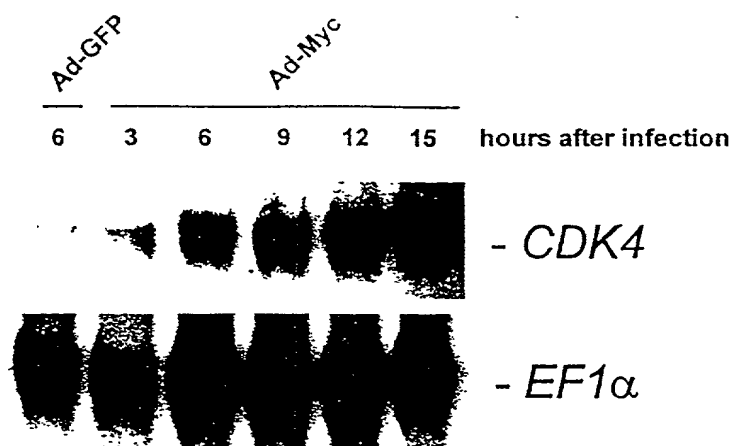
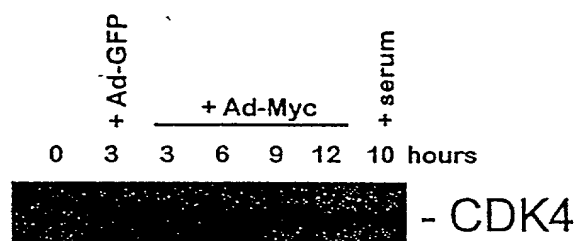


Fig. 1A
Hermeking *et al.*

B.



C.



D.

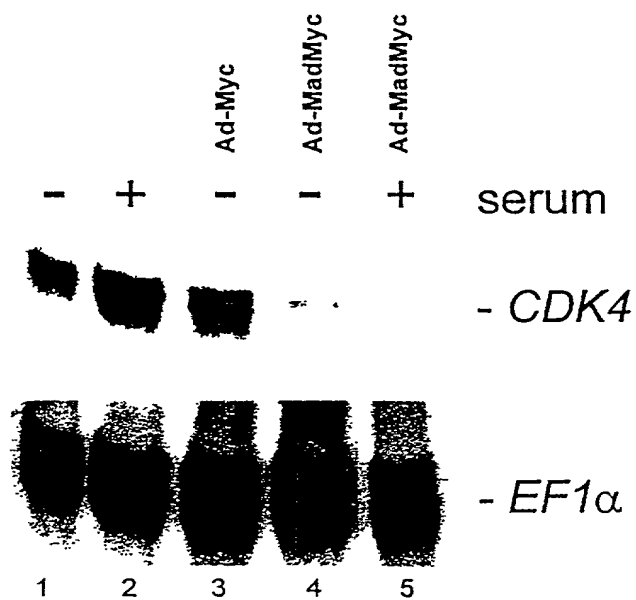
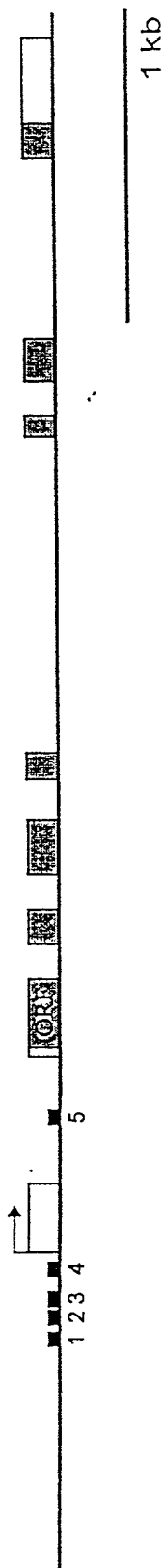


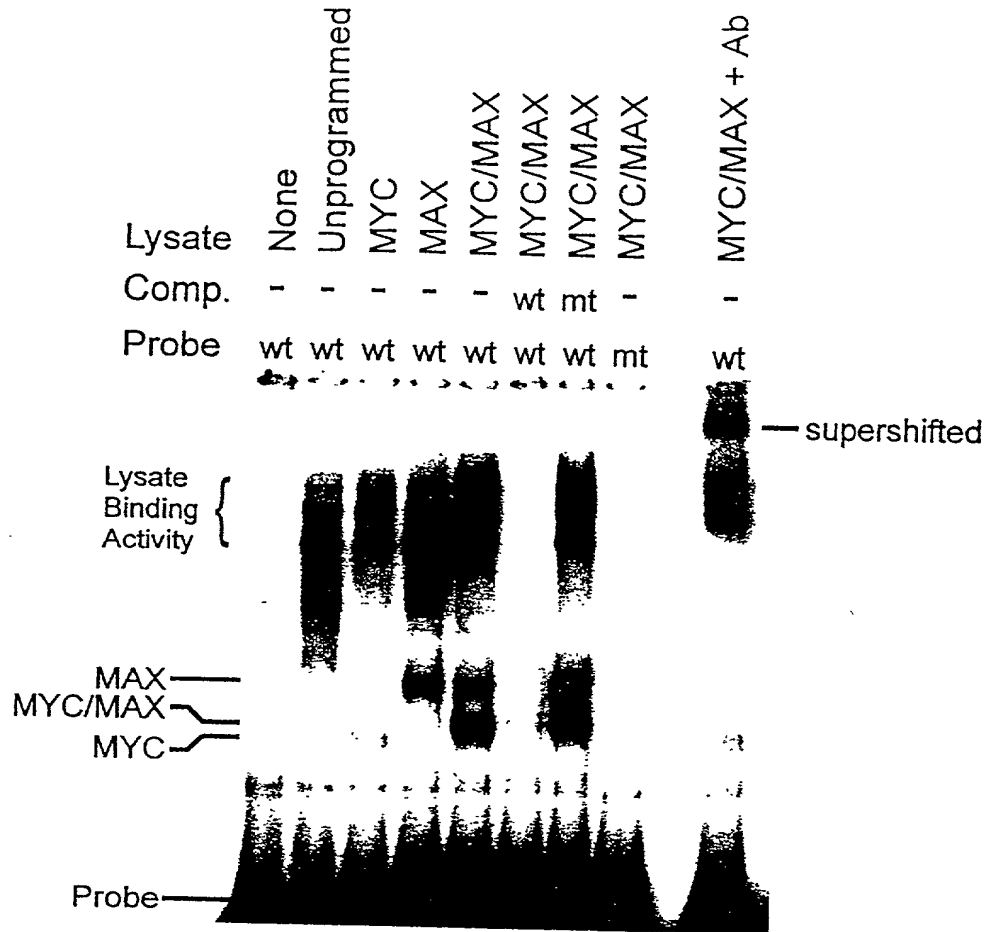
Fig. 1B-D
Hermeking *et al.*



Mouse	GTGGAGTCGAAATCTGTACAGCAACCAATTCTCTGSCACAGGATCTTCCCTACTAACACCTCGACCTCTCCGCC	CACTCAGAGACCCATAGTGAGACATGAGATGGCTCTGGCT
Human	GTTGAGCCGAAAGCTGACAGCATACCTCTGCTATCCCAAGTCCCAACCC	CAATGCAGACAGCTCTCAGAGCGGTATGTAGTACAGTTCAGGCTTCAGA
Mouse	CGG CGG CCTTCAGCCCAAGATGAGACATCTGGTATGGCCC	GGTGGCCATACACCGCCCTATCTCTCCACCCTCTCGCCGCCACA CA
Human	CGGCGGGTAGTGAGACAATCCTTTCAGCCGGGAGTTGGCTATGGGTATGGCCCTAGGGTGGCAAGGCGACCGCCCTGGCTCTCAGCAGCTCCCGCCCT	CG
Mouse	AGTCAGGATATGGCAGCCAGTATCGTCCGACACAGGGTATCCACAGCTCTCTCTCC	CAGCGCAATCACAAGGGTACCTCGGATAGTACAGCTCACTCTGGCGCTCA GCC
Human	AGCGGGGTTGTGGCAGCCAGTATCGTCCCGCCCGGGTACCCACACCTCTCTG	TCCTCAGACCAATCTCAAGCGGTCTCTCTGATATGCAACAGATACCTCTGGTCCATCGCCCT
Mouse	CGGCCCCCTTTCCCCACCAAC	CGGCAAGGGTCAATCTCTCTCCAGACGTCGGGGGCCCGGGCCCCGGCC
Human	CGGCCCCCTTTAACTCTCGCCCTCTCTCCATGGAGCA	CTCAGGCGCAAGGGTGCGCTATCTCTCCAGAGCGTGGGCGCTGGCCCC GGCC

Fig. 2A & B
Hermeking et al

C



D

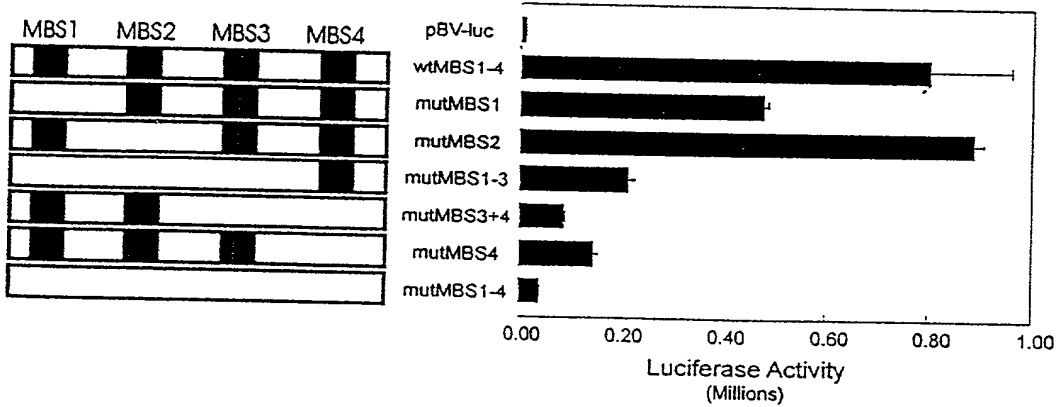


Fig. 2C & D
Hermeking *et al.*

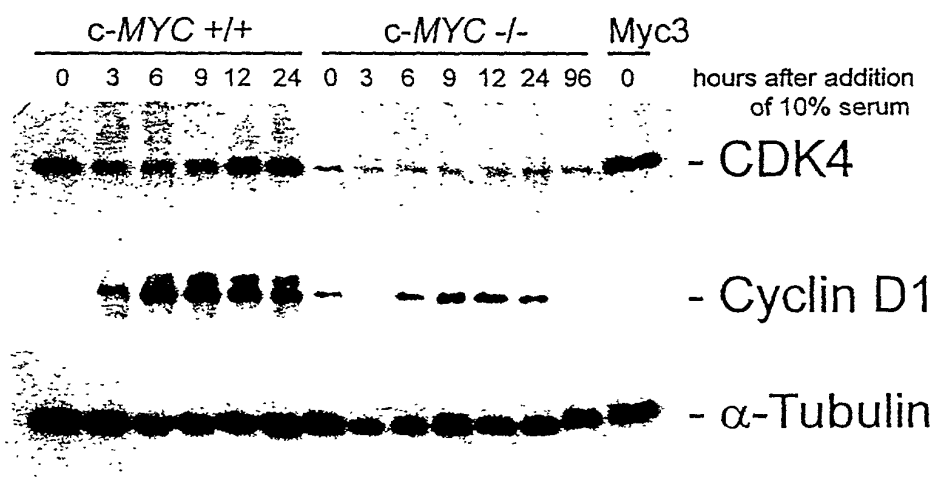
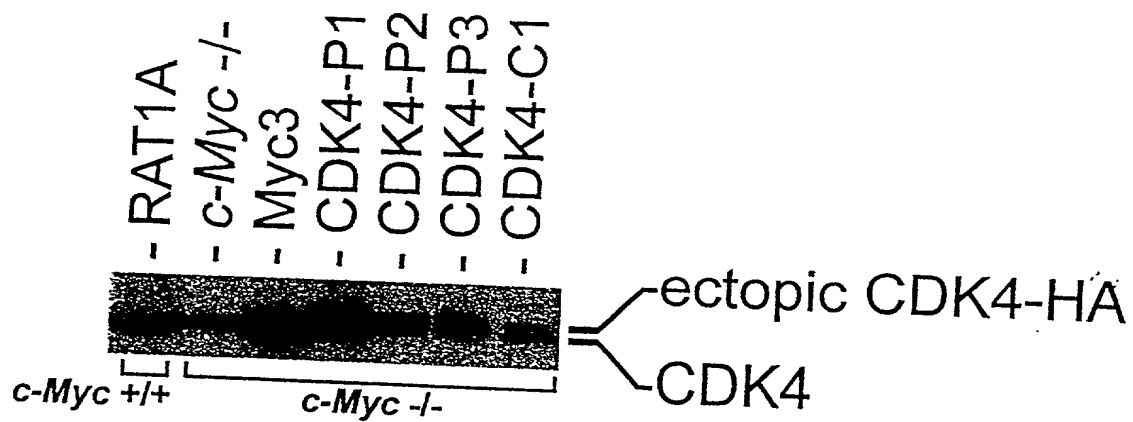


Fig. 3
Hermeking *et al.*

A



B

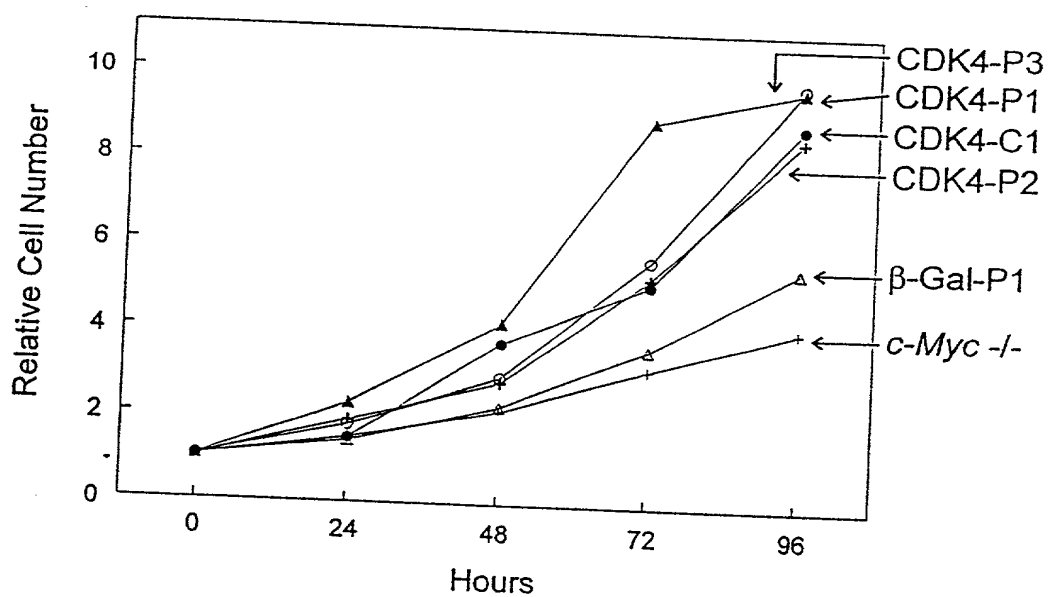


Fig. 4
Hermeking *et al.*

N1 T1 N2 T2 N3 T3

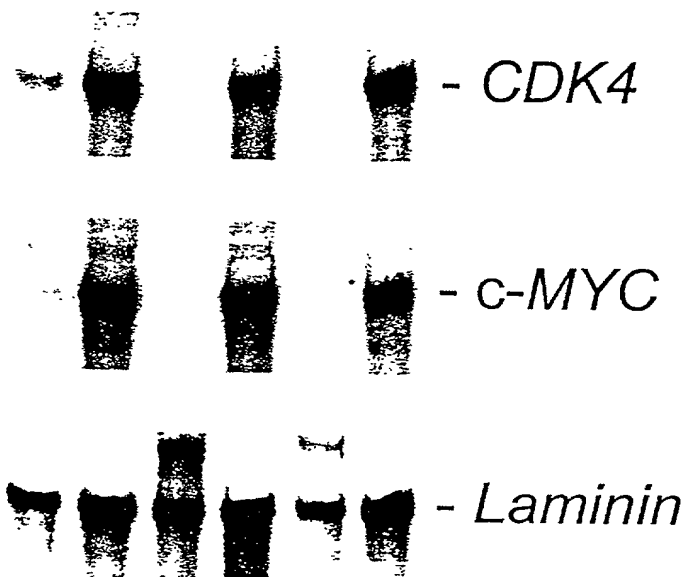


Fig. 5
Hermeking *et al.*